

01;07

## Угловой момент импульса полей маломодового волокна: II. Конверсия углового момента

© А.В. Воляр, Т.А. Фадеева, Н.А. Грошенко

Симферопольский государственный университет

Поступило в Редакцию 25 марта 1997 г.

Изучено преобразование плотности углового момента импульса в поле неустойчивого IV вихря маломодового оптического волокна.

Показано, что явление модовой дисперсии IV вихрей проявляется как конверсия поляризационной и орбитальной частей электродинамического углового момента импульса. Дефект углового момента может быть зарегистрирован экспериментально как механическая закрутка оптического маломодового волокна. Формально дисперсионный процесс выглядит как конверсия знаков орбитальной и поляризационной частей плотности углового момента.

Для описания плотности потока энергии вихря волокна введен комплексный псевдопотенциал, действительная и мнимая части которого характеризуют силовые линии и линии равного псевдопотенциала.

Экспериментально исследована конверсия состояний поля с эквивалентными парциальными  $\hat{e}^+ F_1(R) \exp\{-i\varphi\}$  и  $\hat{e}^- F_1(R) \exp\{+i\varphi\}$  вихрями.

Физические механизмы взаимодействия света и вещества позволяют различать электродинамический угловой и квантовый спиновый моменты импульса светового поля [1]. Угловой момент обычно связывают с вращательной степенью свободы электромагнитного поля и его плотность определяют как

$$\mathbf{M} = \rho \times \mathbf{P}/c^2, \quad (1)$$

где  $\mathbf{P}$  — вектор Пойнтинга. Квантовую плотность вектора спина фотонов определяют по формуле

$$S_i = 1/2\varepsilon_{ijk}(A_k \partial A_j / \partial t - A_j \partial A_k / \partial t) \quad (2)$$

( $\varepsilon_{ijk}$  — тензор Леви-Чивита,  $A_j$  — векторный потенциал) и связывают с внутренней степенью свободы фотонного поля.

Известны электродинамические процессы преобразования плотности моментов импульса  $\mathbf{M}$  и  $\mathbf{S}$  в анизотропных [2] и астигматических [3] оптических системах. Преобразование линейно поляризованного пучка Эрмита–Гаусса  $HG_{mn}$  в пучок Лагерра–Гаусса  $LG_{lp}$  ( $l$  — топологический заряд) обычно связывают с преобразованием орбитального углового момента  $\mathbf{M} = 0$  в  $\mathbf{M} = \mathbf{M}_0$ . Этим свойством наделен оптический модовый конвертер, состоящий из системы сферических и цилиндрических линз. Кроме того, такой конвертер за счет воздействия на фазу Гауи собственных мод способен изменять знак топологического заряда  $l \rightarrow -l$  и, следовательно, знак углового момента [3].

В оптических волокнах электродинамические и квантовые свойства полей нельзя рассматривать в отрыве от векторных поляризационных свойств. Наиболее ярко это проявляется для неустойчивых IV вихрей маломодового волокна, для которых выполняется соотношение

$$\sigma_z + l = 0 \quad (3)$$

( $\sigma_z = \pm 1$  — спиральность поля, характеризующаяся циркуляцией поляризации) [5]. Вследствие явления модовой дисперсии в IV вихрях [4] возможны процессы типа

$$-l \rightarrow l, \quad \sigma_z \rightarrow -\sigma_z. \quad (4)$$

Кажется довольно соблазнительным связать с топологическим зарядом  $l$  орбитальный угловой момент, а со спиральностью  $\sigma_z$  квантовый спиновый момент импульса. Однако следует помнить, что для  $\mathbf{M}$  и  $\mathbf{S}$  моментов законы сохранения выполняются отдельно друг от друга [1], величины  $\mathbf{M}$  и  $\mathbf{S}$  описывают различные физические процессы и, следовательно, конверсия типа  $\mathbf{M} \leftrightarrow \mathbf{S}$  невозможна.

Вместе с тем угловой момент параксиальных пучков  $\mathbf{M}$  в свободном пространстве можно представить в виде суммы углового поляризационного момента  $\mathbf{M}_s$ , вклад в который дает спиральность  $\sigma_z$ , и орбитального углового момента  $\mathbf{M}_l$ , связанного с топологическим зарядом  $l$  [6]. В основе такого разделения лежит условие  $\text{div} \mathbf{e} = 0$  ( $\mathbf{e}$  — вектор напряженности электрического поля), которое не учитывает поляризационных свойств волны в неоднородной среде.

Целью данной работы явилось изучение условий преобразования поперечных компонент вектора Пойнтинга потока энергии в поле IV вихря, возмущенного полем основной циркулярно поляризованной  $HE_{11}$  моды

маломодового волокна, и связанного с ними процесса преобразования плотности углового момента импульса  $\mathbf{M}$ .

1. Пусть вдоль маломодового волокна совместно с  $IV_{-1}^+$  вихрем распространяется правоциркулярно поляризованная  $HE_{11}^+$  мода, имеющая постоянную распространения  $\beta_0$ . Запишем компоненты напряженности электрических и магнитных полей возмущенного неустойчивого  $IV_{-1}^+$  вихря в виде [5,7]:

$$\begin{aligned} \mathbf{e}_t &= (\hat{\mathbf{e}}^+ \exp\{-i\varphi\} \cos \Delta\beta z - i\hat{\mathbf{e}}^- \exp\{i\varphi\} \sin \Delta\beta z) \\ &\quad \times F_1 \exp\left\{i \frac{\beta_2 + \beta_4}{2} z\right\} + a\hat{\mathbf{e}}^+ F_0 \exp\{i\beta_0 z\}, \\ \mathbf{h}_t &= -n_{co} \sqrt{\frac{\varepsilon_0}{\mu_0}} \left\{ (\hat{\mathbf{e}}^+ \exp\{-i\varphi\} \cos \Delta\beta z + i\hat{\mathbf{e}}^- \exp\{i\varphi\} \sin \Delta\beta z) \right. \\ &\quad \left. \times F_1 \exp\left\{i \frac{\beta_2 + \beta_4}{2} z\right\} + a\hat{\mathbf{e}}^+ F_0 \exp\{i\beta_0 z\} \right\}, \\ e_z &= i \frac{\sqrt{2\Delta}}{V} (G_1^+ \exp\{i\beta_2 z\} + aG_0 \exp\{i\beta_0 z\}), \\ h_z &= \pm n_{co} \left(\frac{\varepsilon_0}{\mu_0}\right)^{1/2} \frac{\sqrt{2\Delta}}{V} (G_1^+ \exp\{i\beta_4 z\} + aG_0 \exp\{i\beta_0 z\}), \end{aligned} \quad (5)$$

где  $\beta_2$  и  $\beta_4$  — постоянные распространения ТМ и ТЕ мод,  $\Delta\beta = (\beta_4 - \beta_2)/2$ ,  $F_l$ ,  $G_l$  — функции поперечного распределения  $\mathbf{e}_t$  и  $e_z$  полей,  $R$  — нормированный радиус поперечного сечения волокна.

Используя соотношения (5), получим выражение для компонент вектора Пойтинга  $\mathbf{P} = |\mathbf{E} \times \mathbf{H}|$  и  $\mathbf{M}_z$  компоненты плотности углового момента импульса  $IV_{-1}^+$  вихря, возмущенного полем  $HE_{11}^+$  моды:

$$\begin{aligned} P_\varphi &= -K \left\{ F_1 G_1^+ \cos 2\Delta\beta z + a^2 F_0 G_0 \right. \\ &\quad \left. + a(F_0 C_1^+ + F_1 G_0) \cos \Delta\beta z \cos(\Delta\beta_1 z - \varphi) \right\}, \end{aligned}$$

$$P_r = 2Ka(F_0 G_1^+ - F_1 G_0) \cos \Delta\beta z \sin(\Delta\beta_1 z - \varphi), \quad \Delta\beta_1 = 1/2(\beta_2 + \beta_4) - \beta_0,$$

$$P_z = K \frac{V}{\sqrt{2\Delta}} \left\{ F_1^2 + a^2 F_0^2 + 2aF_1 F_0 \cos \Delta\beta z \cos(\Delta\beta_1 z - \varphi) \right\}, \quad (6)$$

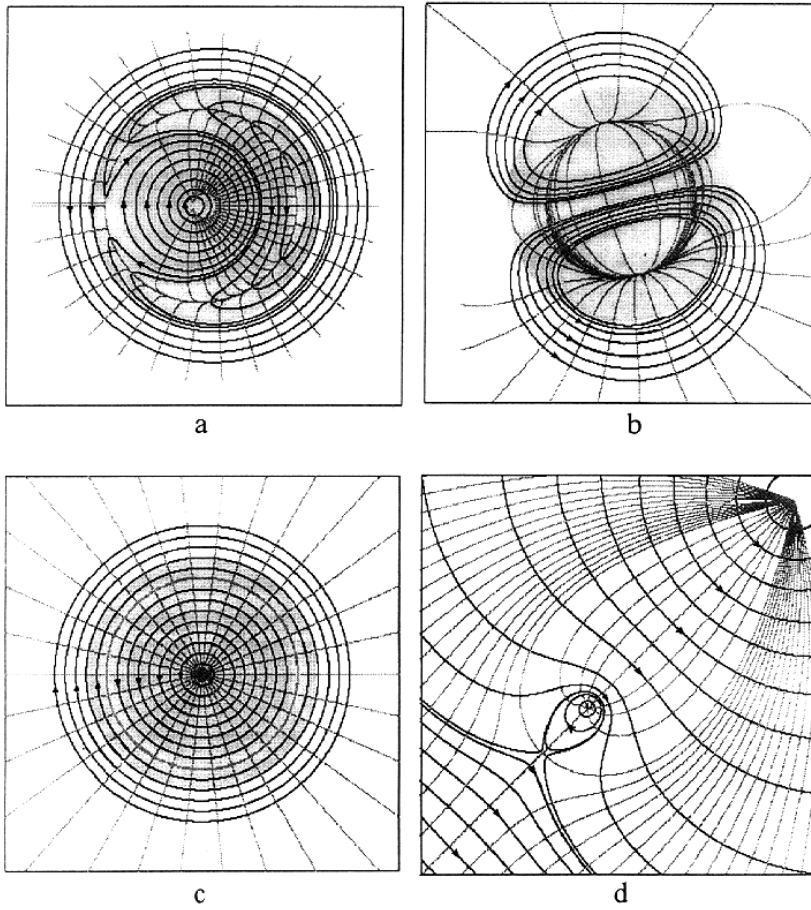
$$\mathbf{M}_z = \rho \mathbf{P}_\varphi / c^2, \quad K = a_1^2 / 2 \sqrt{\frac{\varepsilon_0}{\mu_0} n_{co}} \frac{\sqrt{2\Delta}}{V}, \quad (7)$$

где  $a_1$  — амплитуда напряженности поля  $\mathbf{e}_t$  IV вихря,  $\rho = \rho_0 R$ ,  $\rho_0$  — радиус сердцевины волокна.

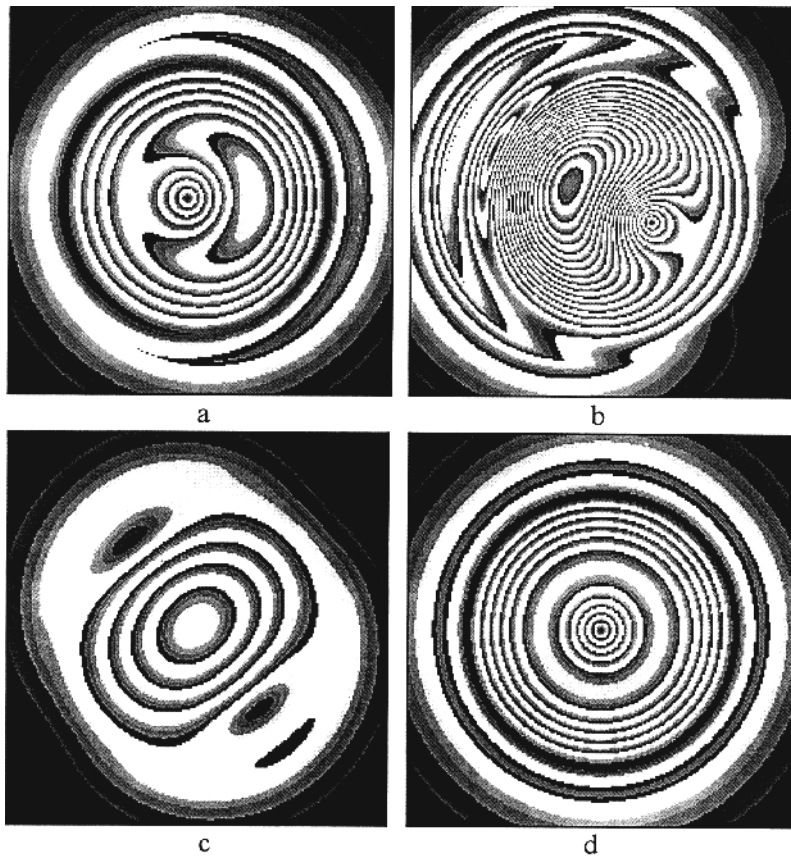
Как видно из выражений (6) и (7), разделение углового момента  $\mathbf{M}_z$  на орбитальную и поляризационную части в IV вихрях теряет смысл. Каждое выражение для поперечных компонент энергетического потока содержит члены, одновременно ответственные за орбитальную и поляризационную части. Кроме того, поле неустойчивого IV вихря не является строго поперечным и для него не выполняется требование  $\text{div} \mathbf{e} = 0$ . Продольные  $z$  компоненты электрического и магнитного полей этого вихря гладкие и не имеют дислокаций, однако  $z$  компоненты возмущающей циркулярно поляризованной  $\text{HE}_{11}^+$  моды переносят винтовую дислокацию с топологическим зарядом  $l = 1$ .

Если возмущающее поле мало или отсутствует ( $a = 0$ ), то формально можно считать, что угловому моменту невозмущенного IV вихря на входном торце волокна ( $z = 0$ ) соответствуют поляризационный момент  $\mathbf{M}_z$  с  $\sigma_z = +1$  и орбитальный момент  $\mathbf{M}_l$  с  $l = -1$ . По мере распространения вдоль волокна компонента  $\mathbf{M}_z$  плотности углового момента постепенно уменьшается и достигает величины  $\mathbf{M}_z = 0$  на длине  $z = \pi/4\Delta\beta$ . На длине  $z = \pi/2\Delta\beta$  плотности углового момента уже соответствуют числа  $\sigma_z = -1$  и  $l = +1$ , а  $\mathbf{M}_z$  изменяет направление на противоположное. Распределение силовых линий  $\mathbf{P}_t$  в поперечном сечении волокна приведено на рис. 1, *c*, а линии уровня  $|\mathbf{P}_t| = \text{const}$  — рис. 2, *d* (черным цветом обозначены области, где  $\mathbf{M}_z = 0$ ).

Рассмотрим процесс распространения возмущенного  $\text{IV}_{-1}^+$  вихря. Как было показано в [5,8], эволюцию невозмущенного  $\text{IV}_{-1}^+$  вихря можно представить как биения между парциальными  $\hat{\mathbf{e}}^+ \exp\{-i\varphi\}$  и  $\hat{\mathbf{e}}^- \exp\{+i\varphi\}$  вихрями, координаты винтовых дислокаций которых совпадают. Возмущающее поле циркулярной  $\text{HE}_{11}^+$  моды вытесняет поле вихря с одноименным состоянием поляризации, порождая разделение нулевых точек вихрей с зарядами  $l = +1$  и  $l = -1$ . В соответствии с выражением (2) парциальный вихрь с ( $\sigma_z = +1, l = -1$ ) вытесняется, а вихрь с ( $\sigma_z = -1, l = +1$ ) остается невозмущенным. Винтовая дислокация с  $l = -1$  испытывает как радиальное, так и азимутальное смещение. Скорость азимутального смещения  $w_\phi = 1.38 \cdot 10^4 \text{ rad/m}$  (для  $\rho_0 = 3.5 \mu\text{m}$ ,  $V = 3.6$ ), а скорость радиального смещения  $w_\rho \ll w_\phi$ . На



**Рис. 1.** Картина распределения силовых линий (черные кривые со стрелками) и линий равного псевдопотенциала (серые линии) для поля вектора Пойнтинга  $\mathbf{P}_r$  неустойчивого  $IV_{-1}^+$  вихря в сечениях волокна:  $a - \Delta\beta z = 0$ ,  $b - \Delta\beta z = \pi/4$ ,  $c - \Delta\beta z = \pi/2$ ;  $d -$  поле вектора  $\mathbf{P}_r$  в области индуцированного вихревого состояния CV вихря.



**Рис. 2.** Картина распределения линий уровня  $|P_t| = \text{const}$  неустойчивого  $IV_{-1}^+$  вихря в сечениях волокна:  $a - \Delta\beta z = 0$ ,  $b - \Delta\beta z = 0.95\pi/4$ ,  $c - \Delta\beta z = \pi/4$ ;  $d - \Delta\beta z = \pi/2$ . Фотографии интерференционной картины поля излучения возмущенного IV вихря ( $e, f$ ).

длинах волокна  $z = (m + 1/4)\pi/\Delta\beta$  за счет радиального смещения винтовая дислокация вытесняется на бесконечность. На входном торце волокна существует только поле в состоянии ( $\sigma_z = +1$ ,  $l = -1$ ). Координаты особых точек поля  $\mathbf{P}_t$  определяются условием  $\mathbf{P}_t = \mathbf{P}_\varphi = 0$

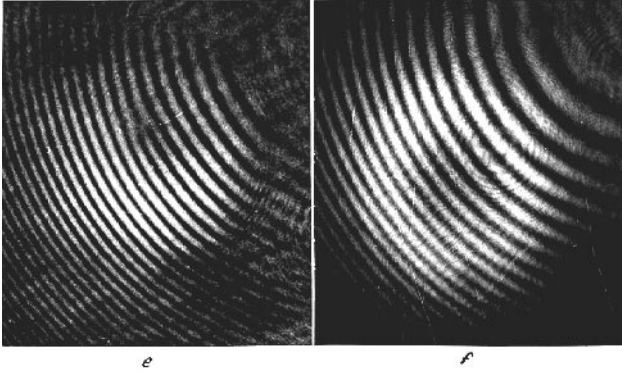


Рис. 2 (продолжение).

и при  $z = 0$  для  $\varphi_0 = \pi$ :

$$F_1(R) - aF_0(R) = 0, \quad G_1^+(R) - aG_0(R) = 0, \quad (8)$$

а для  $\varphi_0 = 0$ :

$$G_1^+(R) + aG_0(R) = 0. \quad (9)$$

На рис. 1 приведено распределение силовых линий (жирные кривые со стрелками) и линий равного псевдопотенциала возмущенного поля IV вихря при значении относительного параметра возмущения  $a = 0.1$ . Линии тока вектора  $\mathbf{P}$  рассчитывались на основании уравнения (13) первой части данной работы, а линии равного псевдопотенциала — из требования их ортогональности к силовым линиям. Термин псевдопотенциал был использован для того, чтобы подчеркнуть непотенциальный характер поля вектора Пойнтинга  $\mathbf{P}$ :  $\text{rot}\mathbf{P} \neq 0$  (но  $\text{div}\mathbf{P} = 0$ ), и введен на основании формальной аналогии с полем скоростей идеальной жидкости [9].

Из рис. 1, а и 2, а видно, что на входном торце ( $z = 0$ ) формируется три системы силовых линий, имеющие встречные направления циркуляции и две группы псевдопотенциальных линий. Первая группа псевдопотенциальных линий собирается в точке локализации  $l = -1$  дислокации (центр вихря вектора  $\mathbf{P}$ ) и в области, охваченной второй группой силовых линий. Вторая группа псевдопотенциальных линий начинается на бесконечности и, стягиваясь к окружности, собирается

в ту же точку, что и первая группа. На длине  $z = \pi/4\Delta\beta$  первый член в (3,а), отвечающий за угловой момент невозмущенного  $IV_{-1}^+$  вихря, исчезает и основной вклад в  $\mathbf{M}$  дает поле циркулярно поляризованной  $HE_{11}^+$  моды и перекрестный член. В этом состоянии встречные азимутальные потоки  $\mathbf{P}$  почти уравниваются друг друга, а линии псевдопотенциала собираются в четко выраженных центрах вихрей вектора  $\mathbf{P}$ . При  $z = \pi/2\Delta\beta$  индуцированный вихрь вектора  $\mathbf{P}$  полностью доминирует в данном сечении волокна. Заметим, что в общем случае  $L_z = \int_{S_\infty} M_z dS \neq 0$ . Поэтому на длине  $z = \pi/2\Delta\beta$  имеет место

конверсия углового момента  $\mathbf{L}_z(\Delta\beta z = 0) \rightarrow -\mathbf{L}_z(\Delta\beta z = \pi/2)$ . Формально указанную смену знака углового момента можно представить как конверсию поляризационного момента  $\mathbf{L}_z^s \rightarrow -\mathbf{L}_z^s$  и орбитального момента  $-\mathbf{L}_z^l \rightarrow \mathbf{L}_z^l$ . (Для сравнения на рис. 1,д представлено распределение силовых и псевдоэквипотенциальных линий вектора  $\mathbf{P}_l$  для поля устойчивого  $CV_{+1}^+$  вихря в волокне).

На рис. 2, e, f представлены фотографии интерференционной картины возмущенного  $IV$  вихря. На рис. 2, e "вилка" поля указывает на область локализации винтовой дислокации на выходном торце волокна ( $l = -1$ ). Рис. 2, f характеризует интерференционное поле, в котором винтовая дислокация с  $l = -1$  вытеснена на бесконечность.

## Список литературы

- [1] Боголюбов Н.Н., Ширков Д.В. Введение в теорию квантованных полей. М: Наука, 1976. 479 с.
- [2] Beth R.A. // Phys. Rev. 1936. V. 50. P. 115–125.
- [3] Beijersbergen M.W., Allen L.van der Veen H.E.L.O., Woerdman J.P. // Opt. Comm. 1993. V. 96. P. 123–132.
- [4] Kukhtarev N., Volyar A., Gnatovsky A. // International Journal of Nonlinear Optical Physics. 1993. V. 2. N 3. P. 447–464.
- [5] Воляр А.В., Фадеева Т.А., Решитова Х.М. // Письма в ЖТФ. 1997. Т. 23. В. 5. С. 69–71.
- [6] Allen L., Beijersbergen M.W., Spreeuw R.J., Woerdman J.P. // Phys. Rev. A. 1992. V. 45. N 11. P. 8185–8189.
- [7] Снайдер А., Лав Дж. Теория оптических волноводов. М: Радио и связь, 1987. 656 с.
- [8] Воляр А.В., Фадеева Т.А. // Письма в ЖТФ. 1996. Т. 22. В. 17. С. 75–81.
- [9] Лаврентьев М.А., Шабат Б.В. Методы теории функций комплексного переменного. М-Л: ГИТТЛ, 1951. 606 с.